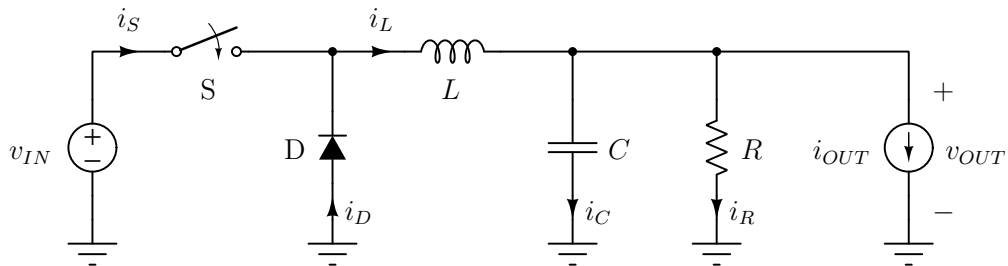


1. U buck konvertoru sa slike 1:  $v_{IN} = 15 \text{ V}$ ,  $L = 25 \mu\text{H}$ ,  $C \rightarrow \infty$  ako se drugačije ne naglasi,  $R = 10 \Omega$ , prekidač i dioda se mogu smatrati idealnim. Struja  $i_L$  se programira tako što se prekidač uključuje kada  $i_L$  padne ispod  $i_L^* - 0.5 \text{ A}$ , a isključuje kada  $i_L$  poraste iznad  $i_L^* + 0.5 \text{ A}$ . Regulacijom po  $i_L^*$  se izlazni napon održava na  $v_{OUT} = 5 \text{ V}$ .

a) [6] Nacrtati vremenske dijagrame  $v_L$ ,  $i_L$ ,  $v_S$ ,  $i_S$ ,  $v_D$ ,  $i_D$ ,  $i_R$ ,  $i_C$  za  $i_{OUT} = 1.5 \text{ A}$  i odrediti periodu prekidanja.

b) [1] U kom opsegu  $i_{OUT}$  konvertor radi u kontinualnom režimu?

c) [3] Odrediti funkcije prenosa  $H_1(s) = \hat{v}_{OUT}(s)/\hat{v}_{IN}(s)$ ,  $H_2(s) = \hat{v}_{OUT}(s)/\hat{i}_{OUT}(s)$  i  $H_3(s) = \hat{v}_{OUT}(s)/\hat{i}_L^*(s)$  ako je  $C = 200 \mu\text{F}$  u okolini  $i_{OUT} = 1.5 \text{ A}$ .



Slika 1

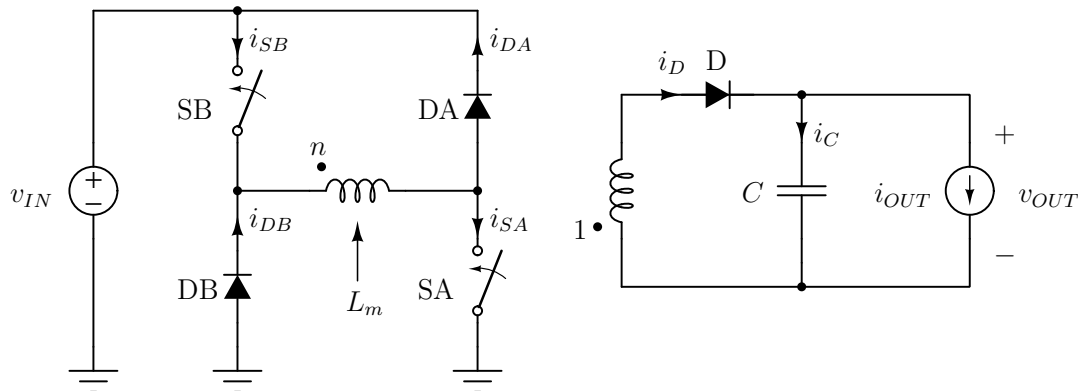
2. U flyback konvertoru sa slike 2 poznato je  $V_{IN} = 100 \text{ V}$ ,  $L_m = 100 \mu\text{H}$ ,  $n = 5$ , transformator je savršen, kapacitivnost kondenzatora je dovoljno velika da se talasnost izlaznog napona može zanemariti, frekvencija prekidanja je  $f_S = 200 \text{ kHz}$ , prekidače i diode smatrati idealnim. Izlazni napon se regulacijom  $D$  održava na  $V_{OUT} = 5 \text{ V}$ , prekidači su uključeni tokom  $D T_S$ .

a) [2] Odrediti  $I_{OUT}$  na granici između kontinualnog i diskontinualnog režima rada konvertora.

b) [3] Za  $I_{OUT} = 4 \text{ A}$  nacrtati vremenske dijagrame  $v_{Lm}$ ,  $i_{Lm}$ ,  $v_{SA}$ ,  $i_{SA}$ ,  $v_{SB}$ ,  $i_{SB}$ ,  $v_D$ ,  $i_D$  i  $i_C$ .

c) [3] Za  $I_{OUT} = 1.28 \text{ A}$  nacrtati vremenske dijagrame  $v_{Lm}$ ,  $i_{Lm}$ ,  $v_{SA}$ ,  $i_{SA}$ ,  $v_{SB}$ ,  $i_{SB}$ ,  $v_D$ ,  $i_D$  i  $i_C$ .

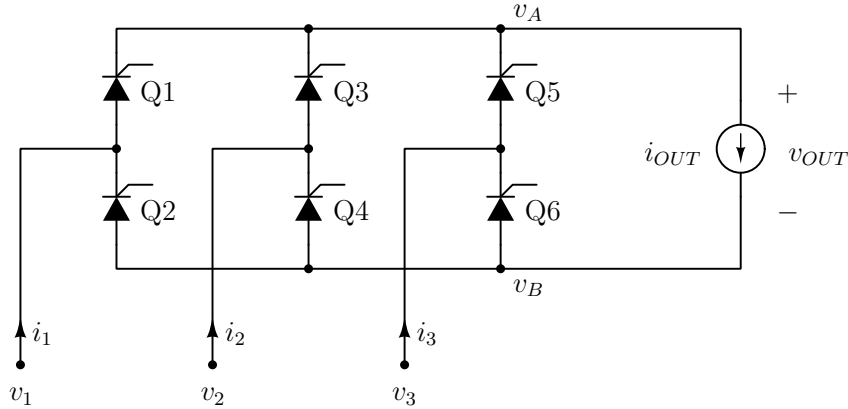
d) [2] Odrediti zavisnost  $D(I_{OUT})$  za  $0 \leq I_{OUT} \leq 4 \text{ A}$ .



Slika 2

3. Trofazni ispravljač sa slike 3 priključen je na trofazni sistem napona  $v_k = 230\sqrt{2} \text{ V} \sin(\omega_0 t - (k-1)\frac{2\pi}{3})$ ,  $k \in \{1, 2, 3\}$ , a struja potrošača je konstantna i iznosi  $I_{OUT} = 50 \text{ A}$ . Tiristori se uključuju za fazni ugao  $\alpha = 30^\circ$  nakon što napon između anode i katode tiristora postane pozitivan.

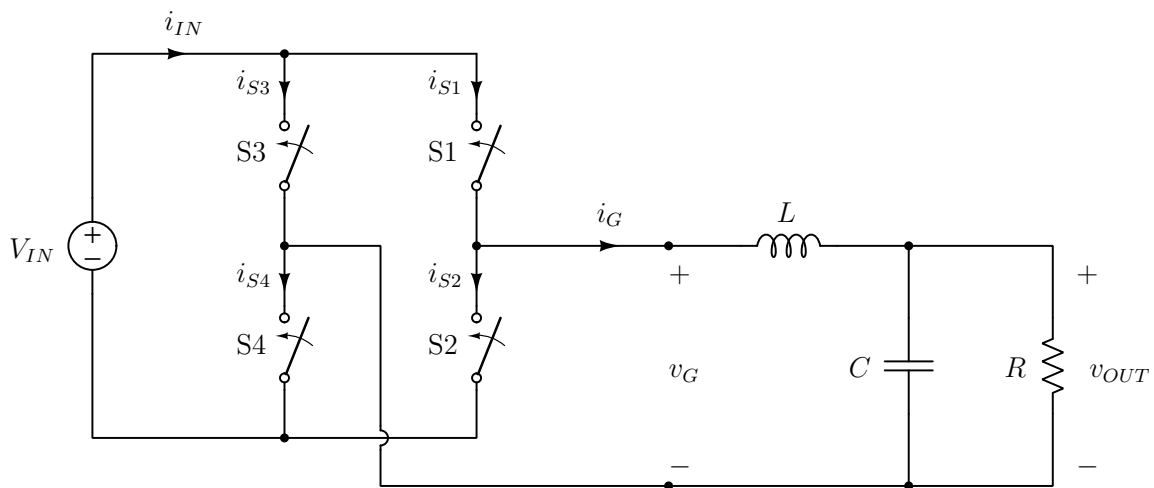
- [2] Nacrtati vremenske dijagrame napona  $v_A$ ,  $v_B$  i  $v_{OUT}$ .
- [2] Odrediti jednosmernu komponentu izlaznog napona.
- [2] Nacrtati vremenske dijagrame struja  $i_1$ ,  $i_2$  i  $i_3$ .
- [2] Odrediti snagu ispravljača i faktor snage.
- [2] Odrediti THD ulaznih struja.



Slika 3

4. Kod invertora sa slike 4 implementirano je spregnuto upravljanje stubovima, tako što se modulišući signal  $v_m$  poredi sa simetričnim trougaonim izlaznim naponom oscilatora koji se kreće u opsegu  $-10 \text{ V} \leq v_{OSC} \leq 10 \text{ V}$ , a perioda mu je  $T_S = 40 \mu\text{s}$ . Ako je  $v_{OSC} < v_m$  uključeni su prekidači S1 i S4, dok su u suprotnom slučaju S1 i S4 isključeni. Takođe, S2 =  $\bar{S1}$ , S4 =  $\bar{S3}$ . U analizi smatrati da je ulazni napon  $V_{IN} = 400 \text{ V}$  konstantan, da je struja  $i_G$  vrlo malo promenljiva tokom  $T_S$  i da su prekidači bidirekpcioni, sposobni da provode struju u oba smera. Poznato je  $\omega_0 = 500 \text{ rad/s}$ ,  $L = 20 \text{ mH}$ ,  $C = 100 \mu\text{F}$ ,  $R = 20 \Omega$ .

- [3] Za  $v_m = 5 \text{ V}$  i  $i_G = 10 \text{ A}$  nacrtati vremenske dijagrame  $v_G$ ,  $i_{IN}$ ,  $i_{S1}$ ,  $i_{S2}$ ,  $i_{S3}$  i  $i_{S4}$  tokom jedne periode  $T_S$ .
- [6] Odrediti  $v_m(t)$  tako da srednja vrednost napona  $v_{OUT}$  tokom perioda prekidanja bude  $\overline{v_{OUT}} = 200 \text{ V}$  ( $\cos(\omega_0 t) + \sin(\omega_0 t)$ ). U ovom slučaju odrediti  $\overline{i_G}$  i  $\overline{i_{IN}}$ .
- [1] Za  $\overline{v_{OUT}}$  dato pod b) odrediti jednosmernu komponentu ulazne struje  $I_{IN}$ .



Slika 4